

微乳液中脂肪酶对扁桃酸乙酯水解反应 和 α -溴丙酸酯化反应的催化作用

肖惠萍 刘 军* 李祖义

(中国科学院上海有机化学研究所, 上海 200032)

针对脂肪酶作用于相界面和微乳液油水界面膜的特点, 首次将柱状假丝酵母脂肪酶(*Candida cylindracea* Lipase)加入水包油(O/W)型微乳液及油包水(W/O)型微乳液中, 分别进行扁桃酸乙酯水解和 α -溴丙酸酯化反应。实验表明, 在微乳液中能进行脂肪酶的催化作用, 且比通常两相溶液体系中催化效果更佳。在十二烷基磺酸钠(AS)/正丁醇/正辛烷的O/W型微乳液中, 扁桃酸乙酯水解48h, 反应转化率达90%以上, 得光学纯度达97%的S型扁桃酸; 在十二烷基硫酸钠(SDS)/正丁醇/正辛烷的W/O型微乳液中, α -溴丙酸进行丁酯化反应, 经6h, 反应转化率达45%, 得光学纯度99%的R型 α -溴丙酸丁酯。

关键词 微乳液; 脂肪酶; 水解; 酯化

1977年 Martinek 首次报道了胰凝乳蛋白酶溶解在丁二酸二辛酯磺酸钠(AOT)/异辛烷微乳液中仍具有催化活性, 从此, 微乳液中的酶催化作用研究倍受青睐^[1,2]。到1986年已知有三十多种酶在微乳液中具有催化活性, 一些酶在微乳液中不仅保存了活性, 而且活性显著增强, 酶的稳定性也有所增加^[3]。微乳液技术的出现为酶催化应用于有机合成开辟了新的途径^[4,5]。

目前, 微乳液中的酶催化反应研究多侧重于油包水(W/O)型^[4,5,11-14], 水包油(O/W)型微乳液中的催化作用极少报道。Mackay^[8]曾报道过十六烷基三甲基溴化铵(CTAB)的O/W型微乳液中, 磷脂与氟离子的亲核反应, 但是, 该反应并没涉及酶催化作用。常见的W/O型微乳酶促反应体系有: CTAB/正己醇/正辛烷、AOT/异辛烷/磷脂。Brij-96/环己烷等, 十二烷基硫酸钠(SDS)/正丁醇/正辛烷体系中的反应未见报道。本文研究了

脂肪酶(*Candida cylindracea* lipase)在O/W型及W/O型两类微乳液中的作用^[7-9]。在AS/正丁醇/正辛烷的O/W型微乳液中, 催化扁桃酸乙酯的水解反应, 在SDS/正丁醇/正辛烷的W/O型微乳液中, 催化 α -溴丙酸的丁酯化反应, 得到两种手性中间体: S型扁桃酸和R型 α -溴丙酸丁酯。

材料与方法

(一) 材料

脂肪酶 购自Sigma公司

1. CCL No. L-1754 *Candida cylindracea* lipase 4780 u/mg.protein^[15]
2. PPL1 No. L-3126 *Procine pancreas* lipase 320 u/mg.protein^[16]
3. PPL2 No. L-3126 *Procine pancreas* lipase 143 u/mg.protein^[16]

本文于1992年3月16日收到。

*华东师大化学系91届毕业生。

- 扁桃酸乙酯(DL) 东京化成(E.P)
 α -溴丙酸(DL) 上海试剂厂(C.P)
 正辛烷 杭州炼油厂(C.P)
 正丁醇 苏州金城炼油厂(C.P)
 丁二酸二辛酯磺酸钠(AOT) 上海试剂二厂(L.R)纯化^[10]
 十二烷基磺酸钠(AS) 上海试剂一厂(C.P)重结晶
 十二烷基硫酸钠(SDS) 东京化成(G.P)

(二) 反应微乳液的制备

1. 水滴定绘制相图: 设定 $W_s/W_A = 1:2$, $W_s + W_A + W_O = 29$, $R_{b/v} = O/A + S$, 其中: S 为表面活性剂, A 为助表面活性剂正丁醇, O 为油正辛烷, W_s 、 W_A 、 W_O 分别为 S、A 和 O 的质量。依次取不同含油量 ($R_{b/v}$: 5%、10%、20%、30%、40%、50%、60%、75%、90%), 按上述公式定量配制表面活性剂、助表面活性剂、油的混合体系, 以水滴定该混合体系, 至溶液由清变浊, 记录浊点时水的体积, 即可绘出微乳液拟三元相图。

2. AS、SDS 微乳液体系的制备: 取 $R_{b/v}$ 为 5%, 以 Tris-HCl (pH8.0) 缓冲液滴定 AS, 正丁醇、正辛烷混合体系, 制得 AS 的 O/W 型微乳液; 取 $R_{b/v}$ 为 90%, 以水滴定 SDS、正丁醇、正辛烷混合体系, 得 SDS 的 W/O 微乳液。

3. AOT 微乳液的制备: 0.05mol/L AOT 正辛烷溶液 100ml, 滴加 1ml 蒸馏水, 摆匀。

(三) 反应及反应产物的提取分离

1. 扁桃酸乙酯的水解: 同时在 AS 的 O/W 微乳液体系和正辛烷/水的两相体系中进行反应。(1) 50ml 锥形瓶中依次加入 150mg 扁桃酸乙酯, AS 微乳液 5.5ml。(2) 50ml 锥形瓶中依次加入 150mg 扁桃酸乙酯、0.5ml 正辛烷, 5.0ml Tris-HCl

(pH8.0) 缓冲液。混合液(1)、(2)在 28°C 恒温 2min 后, 加入 10mg/ml 酶溶液 2ml, 置于摇床上进行反应 (28°C, 120r/min)。

2. α -溴丙酸的酯化: 50ml 锥形瓶中依次加入 100mg α -溴丙酸、4.50 ml W/O 微乳液、0.5ml 正丁醇、0.5ml Tris-HCl (pH8.0) 缓冲液。此混合液 28°C 恒温 20min 后, 加入 30mg 酶, 置于摇床上进行反应 (28°C, 120 r/min)。

3. 产物的提取及分离: 反应结束时, 先以 1N 盐酸调节 pH 至 2 以终止反应, 再以 15ml 乙酸乙酯提取两次, 合并有机相, 过滤, 无水硫酸钠干燥, 蒸去溶液, 产物用硅胶柱层析分离或作色谱分析。微乳液体系反应产物分离时, 需去水完全, 并再次以乙酸乙酯溶解, 使残留表面活性剂沉淀而除去。

(四) 产物的分析测定

1. HPLC 分析扁桃酸乙酯水解产物条件: 仪器: Shimadzu LC-6A; 柱: Shimpack CLC-SIL; 流动相: 正己烷/异丙醇, 500:25; 流速: 1ml/min; 柱温: 30°C; 紫外检测: 254nm

2. HPLC 分析 α -溴丙酸酯化产物条件: 仪器: Shimadzu LC-6A; 柱: Shimpack CLC-ODS; 流动相: 甲醇: 水 = 95:5; 流速: 1ml/min; 柱温: 30°C; 紫外检测: 226nm

3. GC 分析 α -溴丙酸酯化产物条件: 仪器: HP 5880 A; 柱: SE-54 (50m × 0.2mm); 程序升温: 120°C (停 1min) 5 °C/min → 230°C。

结果与讨论

(一) 反应微乳液的制备

本实验选用正丁醇为助表面剂, $W_s/W_A = 1/2$ 。油相一般是直链正烷烃, 微乳液区域大小与烃链的碳数有关。当表面活性剂、助表面剂和水的量一定时, 烃中含碳数量增加时, 对助表面剂的斥力加强, 会导致微乳液区域面积减小。此外, 油相含量增大到一定数值时, 仅出现 W/O型微乳液。所以, 为获得多而稳定的微乳液, 选用 AS 和 SDS 为表面活性剂、正辛烷为油相, 通过制作相图, 选取最佳油水比, 缓冲液, 制备反应微乳液体系。水滴定法得到拟三元相图 1 和相图 2。

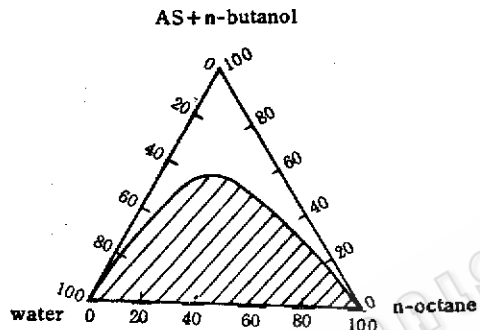


图 1 AS/正丁醇/正辛烷/水体系拟三元相图

Fig.1 Pseudo-ternary phase diagram of quaternary system: AS/n-butanol/n-octane/water
Weight ratio of AS to n-butanol is 1/2; $T = 25^\circ\text{C}$; The shading area is microemulsion

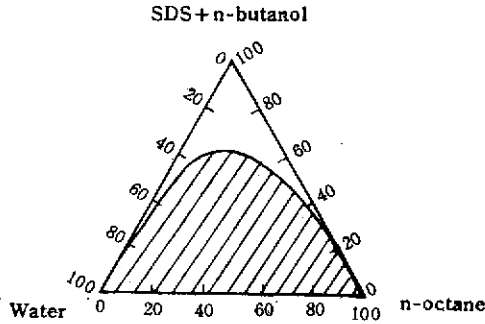


图 2 SDS/正丁醇/正辛烷/水体系拟三元相图
Fig.2 Pseudo-ternary phase diagram of quaternary system: SDS/n-butanol/n-octane/water
Weight ratio of SDS to n-butanol is 1/2; $T = 25^\circ\text{C}$; The shading area is microemulsion

从相图 1 和相图 2 可知: AS/正丁醇/正辛烷体系和 SDS/正丁醇/正辛烷体系形成的微乳液区域都较大, 利于制备反应微乳液, 但是, 这两个体系均直接连续地由 W/O型过渡到 O/W型微乳液, 要注意防止微乳液类型发生转化, 甚至破坏。根据相图, 选取含油量 $R_{h/s}$ 为 5% 制备 AS 的 O/W型反应微乳液, 其最大含水量可超过 80%, 选取 $R_{h/s}$ 为 90%, 制备 SDS 的 W/O型微乳液作为反应体系。此外, 为控制反应体系的 pH 值, 以 pH 8.0 缓冲液滴定制备 O/W型微乳液。实验表明, 用 Tris-HCl 缓冲液较 Na_2HPO_4 - NaH_2PO_4 缓冲液效果好, 配得 AS O/W型微乳液稳定性良好, 经放置半年依然澄清透明。故采用 Tris-HCl (pH 8.0) 缓冲液滴定制备 AS 的 O/W型微乳液。

(二) 扁桃酸乙酯的水解

1. 脂肪酶在 AS 的 O/W型微乳液中的催化作用: 通常, 脂肪酶在缓冲液中能催化水解反应, 为了解其在 O/W型微乳液中的作用, 将脂肪酶 CCL 及 PPL 加入 AS/正丁醇/正辛烷的 O/W型微乳液中, 催化扁桃酸乙酯水解反应。反应 48h, 提取分离产物, HPLC 测定其酸酯含量, 计算反应转化率, 结果见表 1。

可见, 脂肪酶 CCL、PPL 在 AS 的

表 1 在 AS/正丁醇/正辛烷的 O/W型微乳液中脂肪酶催化扁桃酸乙酯水解活性

Table 1 Catalysis of ethyl mandelate hydrolysis by lipases in AS/n-butanol/n-octane oil-in-water microemulsion.

Reaction systems		
Lipases	Tris-HCl buffer/n-octane biphasic system	AS/n-butanol/n-octane oil-in-water microemulsion
CCL	49.16%	60.23%
PPL1	56.06%	65.95%
PPL2	51.72%	61.60%

O/W 微乳液中仍具有催化活性，其活性均高于相应的正辛烷/Tris-HCl(pH8.0)缓冲液两相体系中的活性。下述实验均用 CCL。

2. AS的O/W微乳液中CCL催化酯水解的时间进程

为进一步了解O/W型AS微乳液对脂肪酶催化作用的影响，在AS/正丁醇/正辛烷的O/W微乳液以及正辛烷/Tris缓冲液两相体系中，进行扁桃酸乙酯水解反应，反应一定时间后，提取产物，进行硅胶柱层析分离，得到扁桃酸，结果见图3。

图3表明：在AS/正丁醇/正辛烷的O/W微乳液中比在正辛烷/Tris缓冲液两相体系中扁桃酸乙酯水解进程快，该微乳液的存在利于酯的水解，酶活性并不因微乳液中AS、正丁醇的存在而受损害。究其原因，一方面可能是微乳液的存在利于酯的分散，增加了酯与酶的接触，从而促进水解；另一方面，可能是产物乙醇一经生成，即作为助表剂，参与微乳液油水界面的构成，促使反应朝水解方向进行。

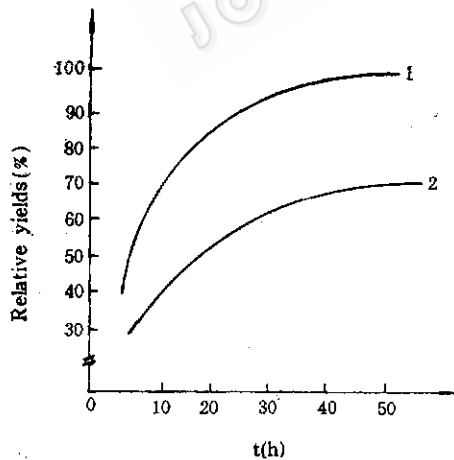


图3 CCL催化扁桃酸乙酯水解反应进程
Fig.3 Time courses of hydrolysis of ethyl mandelate catalyzed by CCL
(1) AS/n-butanol/n-octane oil-in-water microemulsion
(2) n-octane/Tris-HCl buffer biphasic system

当反应进行48h后，柱层析分离得扁桃酸，测定其旋光值，结果见表2。

表2 扁桃酸乙酯水解48h产物的旋光值
Table 2 Optical activity of the product after hydrolysis of ethyl mandelate for 48h

Optical activity	Reaction systems		
	Tris-HCl buffer/ AS/n-butanol/n-octane biphasic system	n-octane oil-in-water microemulsion	n-octane H ₂ O
(α) _D ²⁰ (C ₁₀ , H ₂ O)	-151.3	-149.3	
%e.e.	97.5	97.2	

由表2可知，CCL催化扁桃酸乙酯水解作用在AS/正丁醇/正辛烷的O/W型微乳液中仍保持有较好的立体选择性。

(三) W/O型微乳液中CCL催化α-溴丙酸丁酯化反应

多水的体系不利于酯化反应进行，在W/O微乳液(即反胶束)中进行α-溴丙酸酯化反应。

W/O微乳液中含水量以W_o表示，W_o为表面活性剂和含水的摩尔比，W_o=|水|/|表面活性剂|。

反胶束中的水不同于庞体水(bulky aqueous water)^[14]。在一定W_o，胶束水核中的水均通过氢键紧密键合于表面活性剂极性头部。随着W_o增大，水的流动性增加，其物化性质越接近庞体水(bulky aqueous water)。在W/O微乳液中进行催化作用，含水量W_o是影响酶活性的关键因素^[15]，存在一最适W_o，使酶活性最大。最佳W_o取决于表面活性剂和酶的性质。常见的酶促W/O微乳液体系是AOT/辛烷反胶束体系，在该体系中酶活性与W_o的关系符合钟形曲线(bell-shaped curve)。

AOT加入有机溶剂中即可形成稳定的胶束，不需补加助表剂来增加溶解水量。而我们根据拟三元相图制备SDS/正丁醇/

正辛烷的W/O微乳液，利用CCL，以正丁醇为反应底物，进行 α -溴丙酸丁酯化反应，对该反应体系中CCL的催化作用进行考察。并与 $W_o=11$ 和大于60的两个AOT/正辛烷体系进行了比较，正辛烷/水两相体系作为平行反应体系。

在下述溶液体系进行酯化反应：

(1) SDS/正丁醇/正辛烷的W/O微乳液，含水9.09%(*w/v*)， $W_o=42$ 。

(2) AOT/正辛烷/水的乳状液，含水9.09%(*w/v*)， $W_o \gg 60$ 。

(3) AOT/正辛烷的W/O微乳液，

含水1.00%(*w/v*)， $W_o=11$ 。

(4) 正辛烷/水的两相体系，含水9.09%(*w/v*)。

其中，[总酸]=0.12mol/L，[总正丁醇]= 1.09×10^{-3} mol/L，[总酶]=5.45mg/ml。

在(1)、(2)、(3)溶液中投入反应原料，控制反应时间使反应转化率在10%以内，提取产物，GC分析其中酸和酯的含量，从转化率对反应时间作图，即得一定酶，底物浓度下的最大反应速率(V_m)，结果见表3。

表3 SDS微乳液，AOT乳状液及两相体系中CCL催化 α -溴丙酸酯化反应速率
Table 3 Maximum esterification rates of α -bromopropionic acid catalyzed by CCL in SDS microemulsion, AOT-emulsion and biphasic system

V_m mol/L·h	Reaction systems		
	SDS/n-butanol/n-octane water-in-oil microemulsion	AOT/n-octane emulsion	Water/n-octane biphasic system
4.82×10^{-3}		3.99×10^{-4}	2.03×10^{-4}

从表3可知，当反应体系中含水量、底物浓度、酶浓度相同时，在SDS/正丁醇/正辛烷的W/O微乳液中，CCL催化酯化反应速率约为在正辛烷/水两相体系中的24倍，该SDS的W/O微乳液利于CCL起催化作用。而在AOT/正辛烷的W/O乳状液中，CCL催化反应速率与两相体系相近，因为在含水量达9.09%(*w/v*)时， $W_o \gg 60$ ，AOT/正辛烷微乳胶束结构已经不存在，此体系中水的性质与庞体水(bulky aqueous water)接近，不利于酶促酯化反应的进行。

在SDS/正丁醇/正辛烷的W/O微乳液中酯化反应6h，层析分离得44mg R- α -溴丙酸丁酯，旋光度 $[\alpha]_D^{25}=18.2$ (Cl, CHCl_3)，光学纯度达99%。说明CCL在SDS的W/O微乳液中不仅能催化酯化反应，其催化立体选择性也很好。

为进一步证实CCL在SDS的W/O微

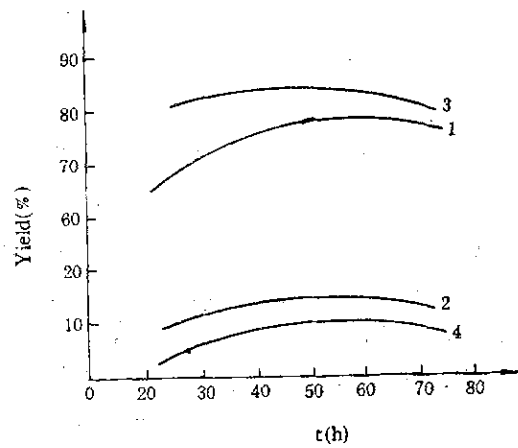


Fig.4 Time courses of α -bromopropionic acid esterification
 1. SDS/n-butanol/n-octane W/O microemulsion
 2. AOT/n-octane emulsion
 3. AOT/n-octane w/o microemulsion
 4. Water/n-octane biphasic system

乳液中的催化作用，与AOT/正辛烷的W/O微乳液($W_o = 11$)进行比较，在(1)、(2)、(3)、(4)溶液中进行反应，提取产物，HPLC测定其酸酯含量，得反应时间与转化率关系曲线(见图4)。

图4表明CCL在SDS/正丁醇/正辛烷的W/O微乳液中的活性远大于其在两相体系中的活性，同时，在AOT/正辛烷

的W/O微乳液($W_o = 11$)中，CCL的催化活性较在SDS的W/O微乳液($W_o = 42$)中还要大。这是因为AOT体系中含水量减小到一定量时，能形成稳定乳状液，酶就可进入胶团水核中，避免了酶与有机溶剂的直接接触，减少酶变性的可能，并增强了酶与底物的接触，从而促使反应得以有效进行。

参考文献

- [1] 李干佐，杨伟华：石油学报，35(4):64,1983.
- [2] Martinek, K. et al.: *Biochim. Biophys. Acta*, 28:485,1977.
- [3] Berezin, I. V. et al.: *Biocatalysis*, 9:1,1987.
- [4] Luisi, P. L.: *J. Am. Chem. Soc.*, 106:7285,1984.
- [5] Tsai, S. W.: *Biotechnol. Bioeng.*, 33:206,1991.
- [6] Mackay, R. A.: *Surfactants in Solution*, 3:1911,1984.
- [7] Rattray, J. B. M.: *J. Am. Oil. Chem. Soc.*, 61:1701,1984.
- [8] Qembou, B. et al.: *J. Am. Chem. Soc.*, 106:2687,1984.
- [9] European Patent, 1986,25.
- [10] Menger, F. M. et al.: *J. Am. Chem. Soc.*, 100:4376,1978.
- [11] Dekker, M.: *Anal. Biochem.*, 178:217,1989.
- [12] Martinek, K. et al.: *J. Biochem.*, 155:453,1986.
- [13] Martinek, K.: *Biochim. Biophys. Acta*, 981:161,1989.
- [14] Castro, M. J. M. et al.: *Biotech. Adv.*, 6:151,1988.
- [15] Ruckenstein, E.: *Biotech. Lett.*, 12:817,1990.
- [16] 天津酶制剂厂等：微生物制剂，天津人民出版社，pp.94—96,1971.

Catalysis of Hydrolysis of Ethyl Mandelate and Esterification of α -bromopropionic Acid by Lipase in Microemulsions

Xiao Huiping Liu Jun Li Zuyi

(Shanghai Institute of Organic Chemistry, Academia Sinica, Shanghai 200032)

Candida cyclinracea lipase was added into "sodium dodecyl sulfonate (AS)/n-butanol/n-octane" oil-in-water microemulsion and "sodium dodecyl sulfate (SDS)/n-butanol/n-octane" water-in-oil microemulsion to catalyze hydrolysis of ethyl mandelate and esterification of α -bromopropionic acid with n-butanol respectively. The catalytic activity of CCL in the above microemulsions was higher than that in traditional oil/water biphasic systems. After hydrolysis for 48h, the conversion rate of reaction reached 90% and S-mandelic acid, $[\alpha]_D^{20}-149.8$ (C_{10} , H_2O), optical purity ca. 97%, was isolated. While esterification for 6h, the conversion rate of reaction reached 45%, and (R)- α -bromopropionic acid butyl ester, $[\alpha]_D^{20} 18.2$ (Cl , $CHCl_3$), optical purity ca. 99%, was obtained.

Key words Microemulsion; lipase; hydrolysis; esterification